

## СТРУКТУРА ОРГАНИЧЕСКИХ СОЕДИНЕНИЙ

УДК 547.1'185'47'74 + 548.737

### КРИСТАЛЛОХИМИЧЕСКИЕ ЗАКОНОМЕРНОСТИ В ИЗОДИМОРФНОМ РЯДУ ЗАМЕЩЕНИЯ $\text{Na}_4[\text{Zn}_x\text{Ni}_{(1-x)}\{\text{N}(\text{CH}_2\text{PO}_3)_3\}] \cdot n\text{H}_2\text{O}$ ( $x = 0-1$ )

© 2023 г. Н. В. Сомов<sup>1</sup>, Ф. Ф. Чаусов<sup>2,\*</sup>, И. С. Казанцева<sup>2</sup>, Н. В. Ломова<sup>2</sup>, А. Н. Бельюков<sup>2</sup>,  
М. А. Шумилова<sup>2</sup>, Н. Е. Суксин<sup>2</sup>, А. И. Ульянов<sup>2</sup>

<sup>1</sup>Национальный исследовательский университет им. Н.Н. Лобачевского, Нижний Новгород, Россия

<sup>2</sup>Удмуртский федеральный исследовательский центр УрО РАН, Ижевск, Россия

\* E-mail: chaus@udman.ru

Поступила в редакцию 15.09.2022 г.

После доработки 15.09.2022 г.

Принята к публикации 30.09.2022 г.

Гетерометаллические комплексы цинка и никеля с нитрило-*трис*-метиленфосфоновой кислотой  $\text{Na}_4[\text{Zn}_x\text{Ni}_{(1-x)}\{\text{N}(\text{CH}_2\text{PO}_3)_3\}] \cdot n\text{H}_2\text{O}$  ( $x = 0-1$ ) образуют при кристаллизации изодиморфный ряд замещения. Крайние цинковый и никелевый члены имеют соответственно триклиническую и моноклинную структуру. Промежуточные члены кристаллизуются в одной из этих фаз – либо в триклинической с преобладанием цинка  $\text{Na}_4[(\text{Zn},\text{Ni})\{\text{N}(\text{CH}_2\text{PO}_3)_3\}] \cdot 13\text{H}_2\text{O}$  (пр. гр.  $P\bar{1}$ ,  $Z = 2$ ,  $a = 11.171(4)-11.2396(2)$ ,  $b = 11.2612(5)-11.28800(10)$ ,  $c = 12.3241(5)-12.35530(10)$  Å,  $\alpha = 108.422(4)^\circ-108.4510(10)^\circ$ ,  $\beta = 97.1603(16)^\circ-97.1790(10)^\circ$ ,  $\gamma = 117.0870(10)^\circ-117.133(2)^\circ$ ) и тригонально-бипирамидальной координацией атома металла, либо в моноклинной с преобладанием никеля  $\text{Na}_4[(\text{Ni},\text{Zn})(\text{H}_2\text{O})\{\text{N}(\text{CH}_2\text{PO}_3)_3\}] \cdot 11\text{H}_2\text{O}$  (пр. гр.  $C2/c$ ,  $Z = 4$ ,  $a = 11.9987(2)-12.05615(18)$ ,  $b = 18.6231(3)-18.7073(3)$ ,  $c = 21.0758(3)-21.1264(4)$  Å,  $\beta = 104.3044(17)^\circ-104.3688(16)^\circ$ ) и октаэдрической координацией атома металла. Изучена зависимость валентных углов, типа химической связи, спектроскопических и магнитных свойств от доли цинка среди металлов-комплексообразователей в кристалле  $x = [\text{Zn}] / ([\text{Zn}] + [\text{Ni}])$ .

DOI: 10.31857/S0023476123020169, EDN: BSOJWL

#### ВВЕДЕНИЕ

Структурная химия координационных соединений нитрило-*трис*-метиленфосфоновой кислоты  $\text{H}_6\{\text{N}(\text{CH}_2\text{PO}_3)_3\}$  ( $\text{H}_6\text{NTP}$ ) с металлами актуальна для создания новых функциональных материалов, например ингибиторов коррозии [1–5], бактерицидов [6, 7], противоопухолевых средств [8]. Поэтому координационные соединения NTP исследуют как за рубежом [9–11], так и в России [12–23].

В координационной химии распространено мнение, что “за редким исключением, стереохимические требования иона металла играют менее важную роль в циклообразовании, чем стереохимические свойства лиганда” [24]. Однако комплексы NTP, образующиеся в идентичных условиях с различными, хотя и близкими по свойствам металлами, часто имеют различную структуру [6, 14] и образуют изодиморфные ряды замещения [25], что объясняется именно влиянием стереохимии иона металла. Исследование особенностей кристаллических структур замещения, образуемых гетерометаллическими комплексами, дает новые знания о влиянии природы иона

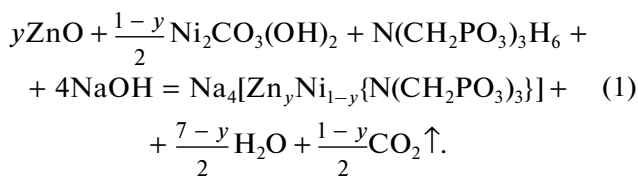
металла-комплексообразователя на структуру комплексных соединений. В рассмотренных ранее системах [26–28] это влияние с достаточной степенью точности описывается классической теорией кристаллического поля.

В настоящей работе рассмотрены кристаллохимические особенности фаз, образуемых гетерометаллическими комплексами NTP с цинком и никелем в изодиморфном ряду замещения  $\text{Na}_4[\text{Zn}_x\text{Ni}_{(1-x)}\{\text{N}(\text{CH}_2\text{PO}_3)_3\}] \cdot n\text{H}_2\text{O}$  ( $x = 0-1$ ).

#### ЭКСПЕРИМЕНТАЛЬНАЯ ЧАСТЬ

**Синтез комплексов**  $\text{Na}_4[\text{Zn}_x\text{Ni}_{(1-x)}\{\text{N}(\text{CH}_2\text{PO}_3)_3\}] \cdot n\text{H}_2\text{O}$ . Навески гидроксокарбоната никеля(II) и оксида цинка рассчитывали так, чтобы выбранные мольные доли цинка (среди металлов-комплексообразователей)  $y = n_{\text{Zn}} / (n_{\text{Ni}} + n_{\text{Zn}})$  составляли 1/8, 1/4, 3/8, 1/2, 5/8, 3/4 и 7/8 при суммарном содержании ионов никеля(II) и цинка 0.1 моль. Подготовленные навески растворяли в растворе, содержащем 30 г (0.1 моль) дважды перекристаллизованной NTP и 16 г (0.4 моль) NaOH (ХЧ,

ГОСТ 4328-77), в 200 мл дистиллированной воды при 75–90°C и интенсивном перемешивании:



После полного растворения осадка полученные растворы фильтровали и добавляли к раствору равный объем диметилсульфоксида (ДМСО). При медленном испарении растворителя при комнатной температуре образовались кристаллы гетерометаллических комплексов  $\text{Na}_4[\text{Zn}_x\text{Ni}_{(1-x)}\{\text{N}(\text{CH}_2\text{PO}_3)_3\}] \cdot n\text{H}_2\text{O}$  (здесь  $x = [\text{Zn}] / ([\text{Ni}] + [\text{Zn}])$  – мольная доля цинка среди металлов-комплексообразователей в кристалле,  $[\text{Zn}]$  и  $[\text{Ni}]$  – молярные концентрации цинка и никеля в кристалле). Отбирали первую фракцию образующихся кристаллов, около 10% общего содержания комплексов в растворе. Полученные кристаллы промывали безводным ДМСО, затем абсолютированным изопропанолом и сушили на воздухе.

**Рентгеноструктурный анализ (РСА).** Кристаллографические характеристики, параметры рентгеноструктурных экспериментов и результаты уточнения структуры полученных образцов приведены в табл. 1. Для исследования выбрали визуально однородные, правильно ограненные кристаллы. Первичный фрагмент структуры найден методом двойного пространства с использованием программных комплексов SHELLX [30] и WinGX [31]. Остальные атомы, включая атомы водорода, локализованы из разностного синтеза электронной плотности и уточнены по  $|F|^2$  методом наименьших квадратов. Положения атомов водорода уточняли в основном цикле методом наименьших квадратов в изотропном приближении смещений. Результаты РСА депонированы в Кембриджский банк структурных данных.

Кристаллические структуры визуализированы с использованием программы VESTA 3.5.7 [32].

**Растровую электронную микроскопию и элементный анализ** полученных кристаллов проводили с использованием растрового электронного микроскопа (РЭМ) Thermo Fisher Scientific Quattro S (США) с электронной пушкой с полевой эмиссией и с системой энергодисперсионного микроанализа на основе спектрометра EDAX Octane Elect Plus EDS System. Результаты элементного анализа полученных кристаллических фаз приведены в табл. 2.

**Электронные спектры поглощения** монокристаллов получали при помощи спектрометрического комплекса на базе монохроматора МДР-41,

используя источник излучения – галогеновую лампу, в интервале 400–1000 нм.

**Магнитную восприимчивость**  $\chi$  образцов измеряли на вибрационном магнитометре VSM NUVO MK-II (Великобритания) с максимальным намагничивающим полем  $H = 8 \times 10^5 \text{ A/m}$  при температуре  $293 \pm 2 \text{ K}$ . Для измерений порошки исследуемых материалов помещали в капсулы из желатина диаметром 7 и высотой 10 мм и заливали расплавленным полиэтиленгликолем ПЭГ-1000 ( $T_{\text{пл}} \approx 50^\circ\text{C}$ ). Для расчета  $\chi$  из измеренного магнитного момента вычитали суммарный магнитный момент держателя образцов, желатиновой капсулы и навески полиэтиленгликоля. Средний эффективный магнитный момент на атом металла-комплексообразователя определяли для парамагнитных образцов из закона Кюри  $\chi = N\mu_{\text{eff}}^2 / 3kT$ . Погрешность определения эффективного магнитного момента составила  $\pm 0.1\mu_{\text{B}}$ , где  $\mu_{\text{B}}$  – магнетон Бора.

**Рентгеновские фотоэлектронные спектры** получали на спектрометре SPECS (Германия) с полусферическим электростатическим энергоанализатором Phoibos-150 при возбуждении излучением  $\text{MgK}_\alpha$  ( $h\nu = 1253.6 \text{ эВ}$ ). Калибровку шкалы энергии связи прибора осуществляли по максимуму интенсивности линии углерода C1s (энергия связи  $E_{\text{B}} = 284.5 \text{ эВ}$ ). Образцы измельченных кристаллических продуктов прессовали в компактные пластины толщиной 0.2–0.3 мм. Для статистической обработки спектров использовали программу Fityk 0.9.8 [33].

**ИК-спектры** получали с использованием таблеток (1 мг исследуемого вещества и 250 мг KBr) на фурье-спектрометре ФСМ-1201 в интервале 450–5000  $\text{cm}^{-1}$ .

**Термогравиметрический анализ** проводили на автоматизированном дериватографе Shimadzu DTG-60H в интервале температур 30–500°C при скорости нагрева 3°C/мин в атмосфере аргона.

## РЕЗУЛЬТАТЫ И ИХ ОБСУЖДЕНИЕ

Полученные продукты представляют собой две фазы различного состава (рис. 1, табл. 2). При росте из растворов с долей цинка  $y = 0-1/4$  образуется только моноклинная фаза кристалла (рис. 2а, 2б). Он имеет призматическую огранку, при этом аксессории роста на боковых гранях и на основаниях призмы резко отличаются. Боковые грани призмы исчерчены в направлении, параллельном граням основания, что указывает на послойный рост кристаллов, а в основании призмы наблюдаются макроступени из линейных сегментов, параллельных боковым граням призмы. Спайность весьма несовершенная. При  $y = 3/4-1$  образуется только триклиновая фаза, представ-

**Таблица 1.** Кристаллографические характеристики, данные экспериментов и результаты уточнения структур

Номер опыта	1	3	4	6	7
Доля цинка в растворе $y = n_{\text{Zn}}/(n_{\text{Ni}} + n_{\text{Zn}})$	1/8	3/8	1/2	3/4	7/8
Формула (по данным PCA)	$\text{C}_3\text{H}_{30}\text{NNa}_4\text{NiO}_{21}\text{P}_3$		$\text{C}_3\text{H}_{32}\text{NNa}_4\text{Ni}_{0.17}$ $\text{O}_{22}\text{P}_3\text{Zn}_{0.83}$	$\text{C}_3\text{H}_{32}\text{NNa}_4\text{Ni}_{0.1}$ $\text{O}_{22}\text{P}_3\text{Zn}_{0.9}$	$\text{C}_3\text{H}_{32}\text{NNa}_4\text{Ni}_{0.19}$ $\text{O}_{22}\text{P}_3\text{Zn}_{0.81}$
$M$	659.86		683.39	683.89	683.29
Сингония, пр. гр., $Z$	Моноклинная, $C2/c$ , 8			Триклинная, $P1$ , 2	
$T, \text{K}$			293(2)		
$a, b, c, \text{\AA}$	12.05615(18) 18.7073(3) 21.1264(4)	11.9987(2) 18.6231(3) 21.0758(3)	11.2171(4) 11.2612(5) 12.3241(5)	11.24180(10) 11.28800(10) 12.35530(10)	11.2396(2) 11.2876(3) 12.3503(2)
$\alpha, \beta, \gamma, \text{град}$	90 104.3688(16) 90	90 104.3044(17) 90	108.422(4) 97.175(3) 117.123(4)	108.4510(10) 97.1790(10) 117.0870(10)	108.4345(18) 97.1603(16) 117.133(2)
$V, \text{\AA}^3$	4615.76(13)	4563.43(14)	1246.09(10)	1255.12(2)	1254.00(5)
$D_x, \text{г см}^{-3}$	1.899	1.921	1.821	1.810	1.810
$\mu, \text{мм}^{-1}$	1.217	1.231	1.304	1.310	1.292
$T_{\min}/T_{\max}$	0.866/0.959	0.132/1.000	0.780/0.933	0.68623/1.000	0.343/1.000
Учет поглощения	Аналитический [29]	Аналитический (Гаусс)	Аналитический [29]	Эмпирический <sup>1</sup>	Аналитический (Гаусс)
$F(000)$	2720	2720	703	704	703
Размер кристалла, мм	$0.216 \times 0.170 \times 0.049$	$0.368 \times 0.300 \times 0.132$	$0.345 \times 0.180 \times 0.095$	$0.453 \times 0.322 \times 0.233$	$0.242 \times 0.187 \times 0.147$
Дифрактометр	Oxford Diffraction Gemini S	Rigaku XtaLab, MM003, P200K	Oxford Diffraction Gemini S	Rigaku XtaLab, MM003, P200K	Rigaku XtaLab, MM003, P200K
Излучение/монохроматор/тип сканирования		Mo $K_\alpha$ ( $\lambda = 0.71073 \text{\AA}$ )	графит/ $\omega$		
$\theta, \text{град}$	3.489–30.503	2.961–30.504	3.403–30.507	2.631–32.676	2.980–30.508
Пределы $h, k, l$	$-17 \leq h \leq 17$ , $-26 \leq k \leq 26$ , $-30 \leq l \leq 30$	$-16 \leq h \leq 17$ , $-26 \leq k \leq 26$ , $-30 \leq l \leq 30$	$-16 \leq h \leq 16$ , $-16 \leq k \leq 16$ , $-17 \leq l \leq 17$	$-16 \leq h \leq 16$ , $-16 \leq k \leq 16$ , $-17 \leq l \leq 17$	$-16 \leq h \leq 16$ , $-16 \leq k \leq 16$ , $-17 \leq l \leq 17$
Измерено рефлексов:					
всего/независимых/	51 672/6999/	93 595/6944/	27 829/7587/	43 218/7658/	51 130/7630/
$c I > 2\sigma(I), R_{\text{int}}$	5805, 0.0501	6689, 0.0297	6749, 0.0390	7314, 0.0217	6486, 0.0669
Число параметров	383	388	404	435	404
$S$	1.115	1.286	1.096	1.055	1.022
$R_1/wR_1$ (все данные)	0.0376/0.0838	0.0319/0.0767	0.0356/0.1032	0.0178/0.0472	0.0298/0.0682
$R_2/wR_2$ ( $F^2 > 2\sigma(F^2)$ )	0.0502/0.0884	0.0331/0.0770	0.0409/0.1087	0.0189/0.0476	0.0396/0.0711
$\Delta\rho_{\min}/\Delta\rho_{\max}, \text{э \AA}^{-3}$	-0.387/0.711	-0.597/0.691	-0.809/1.394	-0.379/0.431	-0.368/0.503
CCDC	2201860	2201777	2201779	2201780	2201781
Степень подобия полиэдра атома металла эталонным полиэдрам [15]:					
Тригональная бипирамида	0.19936(17) <sup>2</sup>	0.19492(17) <sup>2</sup>	0.30755(19)	0.30352(17)	0.30466(18)
Тетрагональная пирамида с центральным атомом в основании пирамиды	0.6329(2) <sup>2</sup>	0.62891(19) <sup>2</sup>	0.20254(18)	0.19790(17)	0.19884(17)
Октаэдр	0.58939(19)	0.57510(19)	—	—	—

<sup>1</sup>CrysAlisPro 1.171.39.8e (Rigaku Oxford Diffraction, 2015).<sup>2</sup>За исключением атома N.

Таблица 2. Результаты элементного анализа полученных кристаллических фаз (мас. %)

Номер опыта	1	2	3	4	5	6	7	
Доля Zn y	1/8	1/4	3/8	1/2	5/8	3/4	7/8	
Моноклин-ная фаза	Вычис-лено <sup>1</sup>	Найдено	Вычис-лено <sup>1</sup>	Найдено	Вычис-лено <sup>1</sup>	Найдено	Вычис-лено <sup>1</sup>	
C	7.94	7.9 ± 1.0	7.93	7.7 ± 1.0	7.94	7.6 ± 1.0	7.94	7.8 ± 1.0
N	3.09	3.0 ± 0.4	3.09	3.1 ± 0.4	3.09	3.2 ± 0.4	3.09	3.3 ± 0.4
O	35.26	35.2 ± 3.5	35.25	35.0 ± 3.5	35.26	35.3 ± 3.5	35.26	35.7 ± 3.5
Na	20.27	21.7 ± 2.0	20.26	20.3 ± 2.0	20.26	20.6 ± 2.0	20.27	19.9 ± 2.0
P	20.48	20.6 ± 1.2	20.47	20.7 ± 1.2	20.48	19.9 ± 1.2	20.48	20.9 ± 1.2
Ni	12.68	11.3 ± 0.2	12.28	12.4 ± 0.3	12.55	12.9 ± 0.3	12.68	12.2 ± 0.2
Zn	0.29	0.30 ± 0.03	0.72	0.70 ± 0.07	0.43	0.50 ± 0.04	0.29	0.20 ± 0.04
Доля Zn x	0.02	0.05	0.03	0.02	0.02	0.02		
Триклин-ная фаза	Вычис-лено <sup>1</sup>	Найдено	Вычис-лено <sup>1</sup>	Найдено	Вычис-лено <sup>1</sup>	Найдено	Вычис-лено <sup>1</sup>	
C								
N								
O								
Na								
P								
Ni								
Zn								
Доля Zn x								

<sup>1</sup> С учетом доли цинка x, найденной при анализе.

ленная крупными кристаллами, ограниченными пинакоидами {100}, {010} и {001} (рис. 2в). На гранях пинакоида {001} наблюдается интенсивная исчерченность по плоскостям  $(\bar{1}\bar{1}0)$ , на остальных гранях акцессории роста выражены слабее. Спайность по плоскостям (100), (010) и (001) совершенная. В интервале  $y = 3/8-5/8$  образуется двухфазный кристаллический продукт: триклиническая фаза представлена ограниченными кристаллами, а моноклинная – в основном фибрillлярными агрегатами (рис. 2г).

Триклиническая фаза, характерная для комплексов с преобладанием цинка, отвечает формуле  $\text{Na}_4[(\text{Zn}, \text{Ni})\{\text{N}(\text{CH}_2\text{PO}_3)_3\}] \cdot 13\text{H}_2\text{O}$ . Доля цинка среди металлов-комплексообразователей  $x = [\text{Zn}] / ([\text{Ni}] + [\text{Zn}])$  в этой фазе варьируется от 0.82 до 0.90 (табл. 2). Внешний вид кристалла, фрагмент его структуры и его кристаллическая упаковка представлены на рис. 3, основные межатомные расстояния и валентные углы приведены в табл. 3. Цвет кристалла (рис. 3а) – от бесцветного (при доле цинка  $x = 1$ ) до лососево-красного (при  $x = 0.83$ ). Строение координационной сферы иона металла в этой фазе (рис. 3б) сходно с ранее исследованными комплексами  $[\text{M}\{\text{N}(\text{CH}_2\text{PO}_3)_3\}] \text{Na}_4 \cdot n\text{H}_2\text{O}$  ( $\text{M} = \text{Zn}, \text{Cu}, \text{Co}, \text{Mn}$ ) [4, 6, 12, 21]. Координационное число (КЧ) атома металла КЧ = 5; координационный полигон – искаженная тригональная бипирамида, в плоскости основания которой находятся атомы кислорода различных  $\text{PO}_3$ -групп молекулы лиганда, в одной вершине – атом азота, в противоположной – атом кислорода соседней молекулы лиганда. В центре структурной единицы формируется плоский квадрупольный цикл  $M-\text{O}-M-\text{O}$ .

Молекула лиганда имеет псевдотригональную конформацию. Межатомные расстояния, валентные и торсионные углы во всех трех  $\text{CH}_2\text{PO}_3$ -ветвях близки друг к другу:  $\text{N}-\text{C} = 1.482(2)-1.4920(17)$ ,  $\text{C}-\text{P} = 1.8203(17)-1.8257(9)$ ,  $\text{P}-\text{O}(M) = 1.5413(7)-1.5603(10)$ ,  $\text{P}-\text{O} = 1.5024(7)-1.5223(7)$  Å,  $\text{N}-\text{C}-\text{P} = 109.06(9)-112.59(9)$ °,  $\text{C}-\text{P}-\text{O}(M) = 101.56(6)-103.72(7)$ °,  $\text{C}-\text{P}-\text{O} = 106.78(8)-109.96(7)$ °,  $\text{P}-\text{C}-\text{N}-\text{Zn} = 33.09(11)-37.02(18)$ °,  $\text{N}-\text{C}-\text{P}-\text{O} = 37.62(17)-48.85(11)$ °. Эти параметры имеют меньший разброс, чем в молекуле свободной NTP [34] ( $\text{N}-\text{C} = 1.496(4)-1.509(4)$ ,  $\text{C}-\text{P} = 1.809(3)-1.834(3)$ ,  $\text{P}-\text{O} = 1.465(3)-1.543(3)$  Å,  $\text{N}-\text{C}-\text{P} = 112.6(2)-117.9(2)$ °,  $\text{C}-\text{P}-\text{O} = 97.3(2)-109.8(2)$ °), что указывает на выравнивание связей и валентных углов при депротонировании молекулы NTP и образовании комплекса. Длины связей  $\text{P}-\text{O}(M)$  увеличиваются по сравнению со связями  $\text{P}-\text{O}$  как в структуре комплекса, так и в свободной NTP из-за смещения электронной плотности к атому *d*-металла. В отличие от гетерометаллических комплексов NTP, содержащих медь [25–28], в рассматриваемой кристалличес-

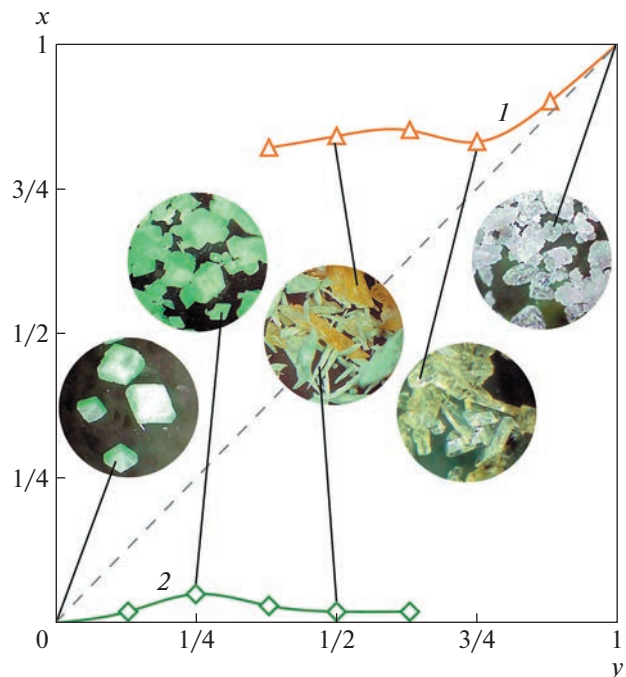
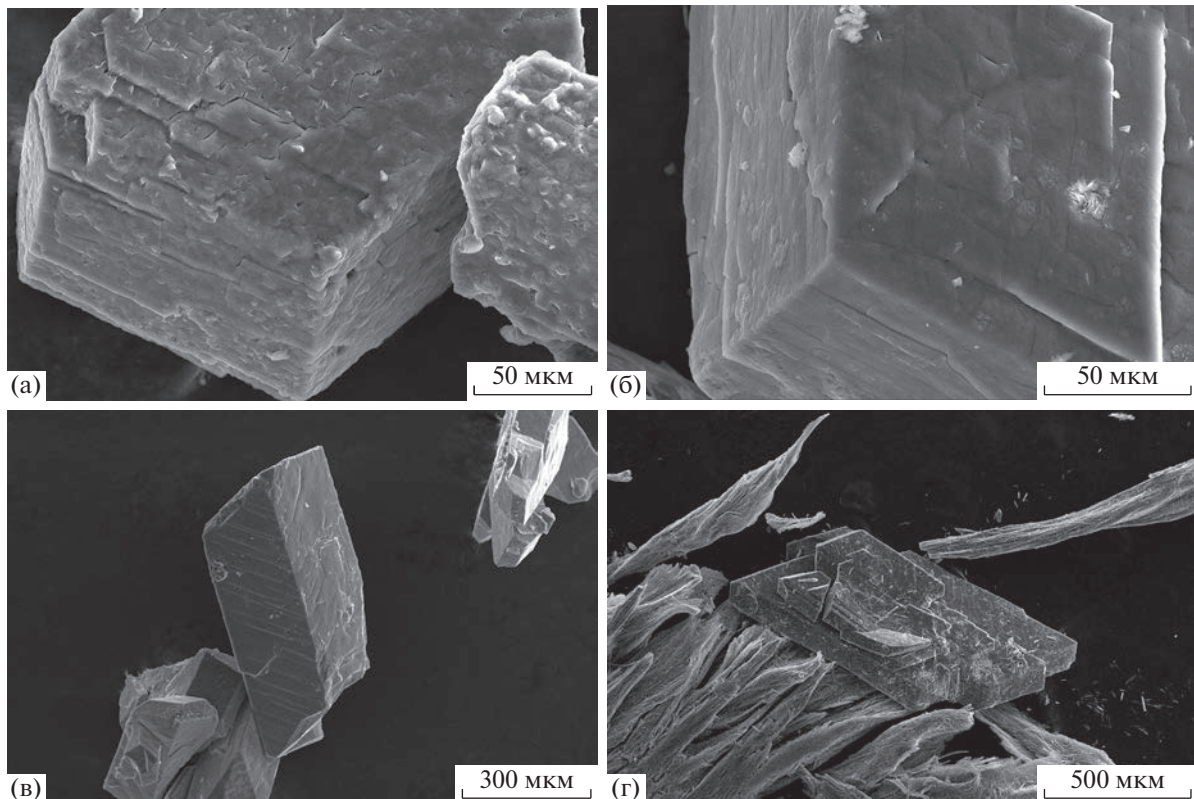


Рис. 1. Зависимость мольной доли цинка среди металлов-комплексообразователей в кристалле  $x = [\text{Zn}] / ([\text{Ni}] + [\text{Zn}])$  от мольной доли цинка среди металлов-комплексообразователей в растворе  $y = n_{\text{Zn}} / (n_{\text{Ni}} + n_{\text{Zn}})$  для триклинической фазы  $\text{Na}_4[(\text{Zn}, \text{Ni})\{\text{N}(\text{CH}_2\text{PO}_3)_3\}] \cdot 13\text{H}_2\text{O}$  (1) и моноклинной фазы  $\text{Na}_4[(\text{Ni}, \text{Zn})(\text{H}_2\text{O})\{\text{N}(\text{CH}_2\text{PO}_3)_3\}] \cdot 11\text{H}_2\text{O}$  (2). Приведены фотографии кристаллических продуктов (оптический микроскоп, темное поле, увеличение  $\times 40$ ) и отмечены соответствующие данные о составе.

ской структуре отсутствует разупорядочение положений атомов  $\text{PO}_3$ -группы.

Геометрический параметр тригональности  $\tau$  [35] координационной сферы атома металла для триклинической фазы составляет в среднем 0.567–0.571 (значение  $\tau = 0$  соответствует тетрагонально-пирамидальной конфигурации, а  $\tau = 1$  – тригональной бипирамиде). Для чисто цинкового комплекса [4]  $\tau = 0.574$ .

Кристаллическую упаковку триклинической фазы (рис. 3в) формируют направленные вдоль оси *c* “колонны” димерных комплексных анионов  $[(\text{Zn}, \text{Ni})\{\text{N}(\text{CH}_2\text{PO}_3)_3\}]^{8-}$ , лежащих в плоскостях  $(\bar{1}\bar{1}0)$ ; геометрические центры комплексных анионов совпадают с центрами инверсии кристаллической структуры. В плоскостях  $(2\bar{2}0)$  лежат “гофрированные” слои ионов  $\text{Na}^+$ . Координационный полигон иона  $\text{Na}1$  – искаженная тетрагональная пирамида с параметром тригональности  $\tau = 0.483$ , ионов  $\text{Na}2$  и  $\text{Na}4$  – искаженные октаэдры, иона  $\text{Na}3$  – искаженная тригональная бипирамида с  $\tau = 0.567$ . Атомы  $\text{Na}1$  и  $\text{Na}3$  образуют



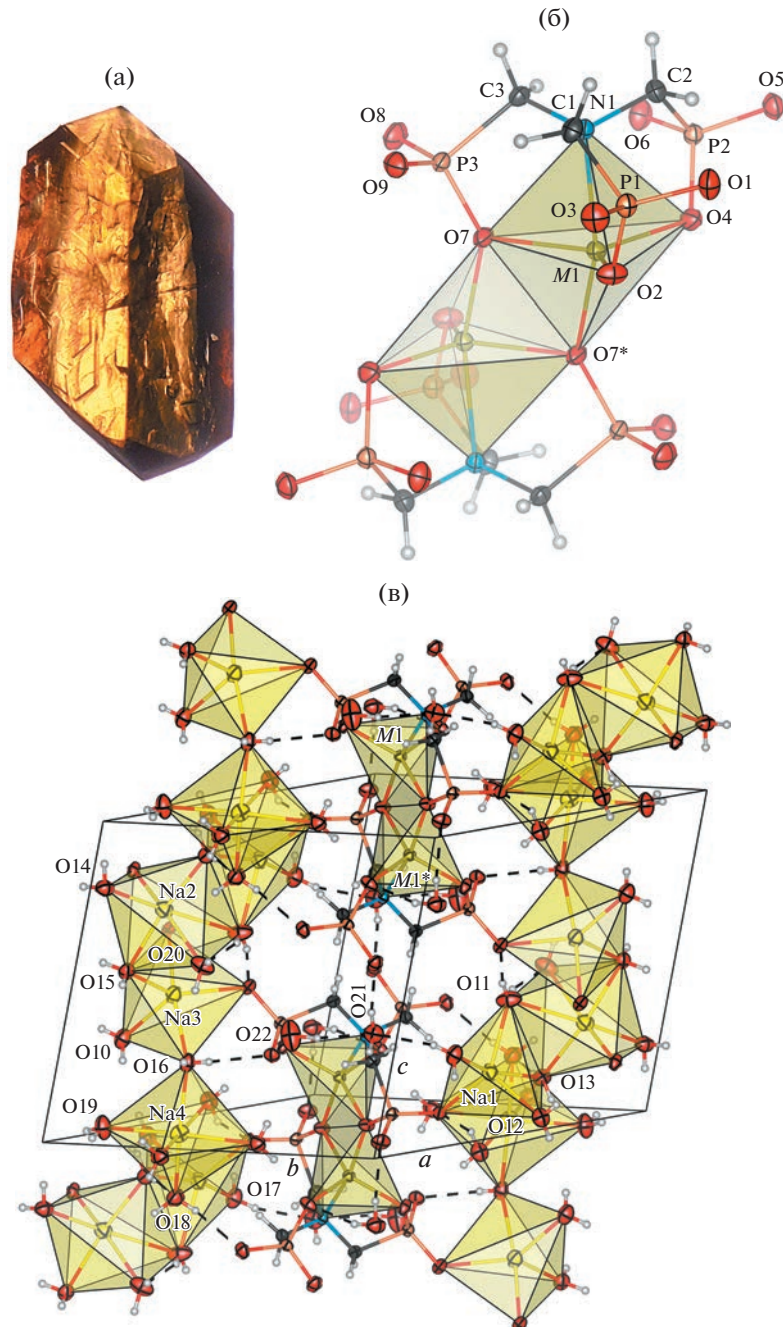
**Рис. 2.** РЭМ-изображения кристаллов  $\text{Na}_4[\text{Ni}_{0.98}\text{Zn}_{0.02}(\text{H}_2\text{O})\{\text{N}(\text{CH}_2\text{PO}_3)_3\}] \cdot 11\text{H}_2\text{O}$  (а),  $\text{Na}_4[\text{Ni}_{0.95}\text{Zn}_{0.05}(\text{H}_2\text{O})\{\text{N}(\text{CH}_2\text{PO}_3)_3\}] \cdot 11\text{H}_2\text{O}$  (б),  $\text{Na}_4[\text{Zn}_{0.83}\text{Ni}_{0.17}\{\text{N}(\text{CH}_2\text{PO}_3)_3\}] \cdot 13\text{H}_2\text{O}$  (в) и смеси фаз  $\text{Na}_4[\text{Zn}_{0.84}\text{Ni}_{0.16}\{\text{N}(\text{CH}_2\text{PO}_3)_3\}] \cdot 13\text{H}_2\text{O}$  (граненые кристаллы) и  $\text{Na}_4[\text{Ni}_{0.98}\text{Zn}_{0.02}(\text{H}_2\text{O})\{\text{N}(\text{CH}_2\text{PO}_3)_3\}] \cdot 11\text{H}_2\text{O}$  (фибрillлярные структуры) (г).

ионные связи с атомами кислорода  $\text{PO}_3$ -групп молекулы NTP и координационные – с молекулами кристаллизационной воды, а ионы  $\text{Na}^+$  и  $\text{Na}_4$  – только с молекулами кристаллизационной воды. Молекулы воды O10–O20 координированы ионами  $\text{Na}^+$ , а молекулы O21 и O22 являются сольватными.

Моноклинная фаза с преобладанием никеля соответствует формуле  $\text{Na}_4[(\text{Ni},\text{Zn})(\text{H}_2\text{O})\{\text{N}(\text{CH}_2\text{PO}_3)_3\}] \cdot 11\text{H}_2\text{O}$  и содержит долю цинка  $x = [\text{Zn}] / ([\text{Ni}] + [\text{Zn}])$  от 0.02 до 0.05 (табл. 2). Внешний вид кристалла, фрагмент структуры и кристаллическая упаковка представлены на рис. 4, основные межатомные расстояния и валентные углы приведены в табл. 4. Кристалл ярко-зеленого цвета (рис. 4а). Структура этой фазы близка к структуре ранее изученного комплекса NTP с Ni, кристаллизующегося также в моноклинной фазе [14], и фазы с преобладанием никеля в изодиморфном ряду замещения  $\text{Na}_4[\text{Cu}_x\text{Ni}_{(1-x)}\{\text{N}(\text{CH}_2\text{PO}_3)_3\}] \cdot n\text{H}_2\text{O}$  [25, 27]. У атома металла  $\text{K} = 6$ , координационный полидр – искаженный октаэдр, в трех меридионально расположенных вершинах которого находятся атомы кислорода различных  $\text{PO}_3$ -групп молекулы лиганда, а в трех других вершинах – атом азота, молекула воды и атом кислорода соседней моле-

кулы лиганда (рис. 4б). Два атома металла соседних структурных единиц образуют плоский квадрупольный цикл  $M-\text{O}-M-\text{O}$ .

Молекула NTP имеет плоскость псевдосимметрии: две ее  $\text{CH}_2\text{PO}_3$ -ветви зеркально-симметричны относительно плоскости, в которой лежит третья  $\text{CH}_2\text{PO}_3$ -ветвь. Межатомные расстояния и валентные углы в  $\text{CH}_2\text{PO}_3$ -ветвях заметно различаются: в крайних ветвях  $\text{N}-\text{C} = 1.485(3)-1.491(2)$ ,  $\text{C}-\text{P} = 1.826(2)-1.8307(19)$ ,  $\text{P}-\text{O}(M) = 1.5282(16)-1.5380(14)$ ,  $\text{P}-\text{O} = 1.5136(16)-1.5326(14)$  Å,  $\text{N}-\text{C}-\text{P} = 111.27(12)^{\circ}-111.89(14)^{\circ}$ ,  $\text{C}-\text{P}-\text{O}(M) = 103.43(9)^{\circ}-104.25(8)^{\circ}$ ,  $\text{C}-\text{P}-\text{O} = 105.76(8)^{\circ}-109.59(10)^{\circ}$ , а в средней ветви  $\text{N}-\text{C} = 1.507(3)-1.510(2)$ ,  $\text{C}-\text{P} = 1.849(2)-1.8555(19)$ ,  $\text{P}-\text{O}(M) = 1.5459(15)-1.5496(14)$ ,  $\text{P}-\text{O} = 1.5120(16)-1.5221(14)$  Å,  $\text{N}-\text{C}-\text{P} = 117.37(12)^{\circ}-117.70(14)^{\circ}$ ,  $\text{C}-\text{P}-\text{O}(M) = 103.36(9)^{\circ}-103.41(8)^{\circ}$ ,  $\text{C}-\text{P}-\text{O} = 107.79(9)^{\circ}-109.18(10)^{\circ}$ . Особенно существенно различие в торсионных углах: в боковых ветвях  $\text{P}-\text{C}-\text{N}-\text{Zn} = 41.11(17)^{\circ}-42.40(18)^{\circ}$ ,  $\text{N}-\text{C}-\text{P}-\text{O} = 33.40(19)^{\circ}-38.14(18)^{\circ}$ , а в средней ветви  $\text{P}-\text{C}-\text{N}-\text{Zn} = 0.27(17)^{\circ}-0.27(19)^{\circ}$ ,  $\text{N}-\text{C}-\text{P}-\text{O} = 4.68(16)^{\circ}-4.72(19)^{\circ}$ . Эти различия вызваны изменением конформации молекулы лиганда по



**Рис. 3.** Внешний вид кристалла (оптический микроскоп, светлое поле, увеличение  $\times 40$ ) (а), структура внутренней координационной сферы (б) и кристаллическая упаковка (в) комплекса  $\text{Na}_4[(\text{Zn}, \text{Ni})\{\text{N}(\text{CH}_2\text{PO}_3)_3\}] \cdot 13\text{H}_2\text{O}$  в триклинной фазе. Симметрично-эквивалентная позиция: (\*)  $-x, -y, -z$ .

сравнению со свободной NTP и с рассмотренным выше комплексом с триклинной структурой.

Кристаллическая упаковка – слоистая (рис. 4в): в плоскостях (001) и (002) лежат слои димерных комплексных анионов  $[(\text{Ni}, \text{Zn})\{\text{N}(\text{CH}_2\text{PO}_3)_3\}]^{8-}_2$ , окруженных ионами  $\text{Na}^+$  в позициях  $\text{Na}1-\text{Na}3$ , координирующих молекулы кристаллизационной воды. В плоскостях (004) лежат слои ионов  $\text{Na}^+$

в позициях  $\text{Na}4$  и  $\text{Na}5$ , также координирующих молекулы кристаллизационной воды. Координационные полиэдры ионов  $\text{Na}1$ ,  $\text{Na}3$  и  $\text{Na}5$  – исаженные октаэдры,  $\text{Na}2$  – исаженная пентагональная бипирамида,  $\text{Na}4$  – исаженный тетраэдр. Атомы  $\text{Na}1-\text{Na}4$  соединены ионными связями с атомами кислорода  $\text{PO}_3$ -групп молекулы NTP и координационными – с молекулами кристаллизационной воды, а ион  $\text{Na}5$  связан только с моле-

**Таблица 3.** Основные межатомные расстояния  $d$  и валентные углы  $\omega$  для триклинических фаз  $\text{Na}_4[(\text{Zn}, \text{Ni})\{\text{N}(\text{CH}_2\text{PO}_3)_3\}] \cdot 13\text{H}_2\text{O}$  с различным содержанием Zn

Номер опыта	Литература [4]	4	6	7
Доля Zn $x$	1.00	0.84	0.83	0.90
Связь	$d, \text{\AA}$			
$M-\text{N}1$	2.2548(7)	2.2459(13)	2.2571(11)	2.2532(15)
$M-\text{O}2$	1.9882(7)	1.9869(12)	1.9915(9)	1.9902(13)
$M-\text{O}4$	2.0184(7)	2.0198(12)	2.0219(10)	2.0213(15)
$M-\text{O}7$	2.0876(7)	2.0841(12)	2.0907(6)	2.0893(9)
$M-\text{O}7^*$	2.0151(6)	2.0149(11)	2.0199(9)	2.0186(13)
N–C	1.4807(9)–1.4843(9)	1.482(2)–1.486(2)	1.4841(11)–1.4887(11)	1.4839(18)–1.4920(17)
C–P	1.8208(8)–1.8218(8)	1.8203(17)–1.8224(17)	1.8242(9)–1.8257(9)	1.8232(14)–1.8244(15)
P–O( $M$ )	1.5414(6)–1.5564(6)	1.5413(7)–1.5435(8)	1.5458(7)–1.5601(7)	1.5466(11)–1.5603(10)
P–O	1.5111(6)–1.5191(6)	1.5024(7)–1.5149(7)	1.5147(7)–1.5223(7)	1.5111(12)–1.5198(12)
Na1–O	2.2991(10)–2.4280(9)	2.299(3)–2.4260(19)	2.3046(13)–2.4317(11)	2.3023(19)–2.4333(16)
Na2–O	2.3475(11)–2.6280(9)	2.343(3)–2.6280(19)	2.3530(12)–2.6331(11)	2.3504(18)–2.6325(16)
Na3–O	2.3448(6)–2.4418(10)	2.3429(12)–2.442(3)	2.3503(7)–2.4463(13)	2.445(2)–2.3486(10)
Na4–O	2.3971(9)–2.5271(13)	2.333(2)–2.525(3)	2.3392(12)–2.5310(15)	2.3406(18)–2.533(3)
Углы	$\omega, \text{град}$			
$\text{N}1-M-\text{O}7^*$	163.29(2)	163.37(5)	163.30(3)	163.27(4)
$\text{O}2-M-\text{O}4$	114.48(3)	114.22(6)	114.39(3)	114.32(5)
$\text{O}2-M-\text{O}7$	114.67(3)	114.54(5)	114.60(4)	114.62(6)
$\text{O}4-M-\text{O}7$	128.82(2)	129.33(5)	129.03(4)	129.08(5)

\* Симметрично-эквивалентная позиция:  $-x, -y, -z$ .

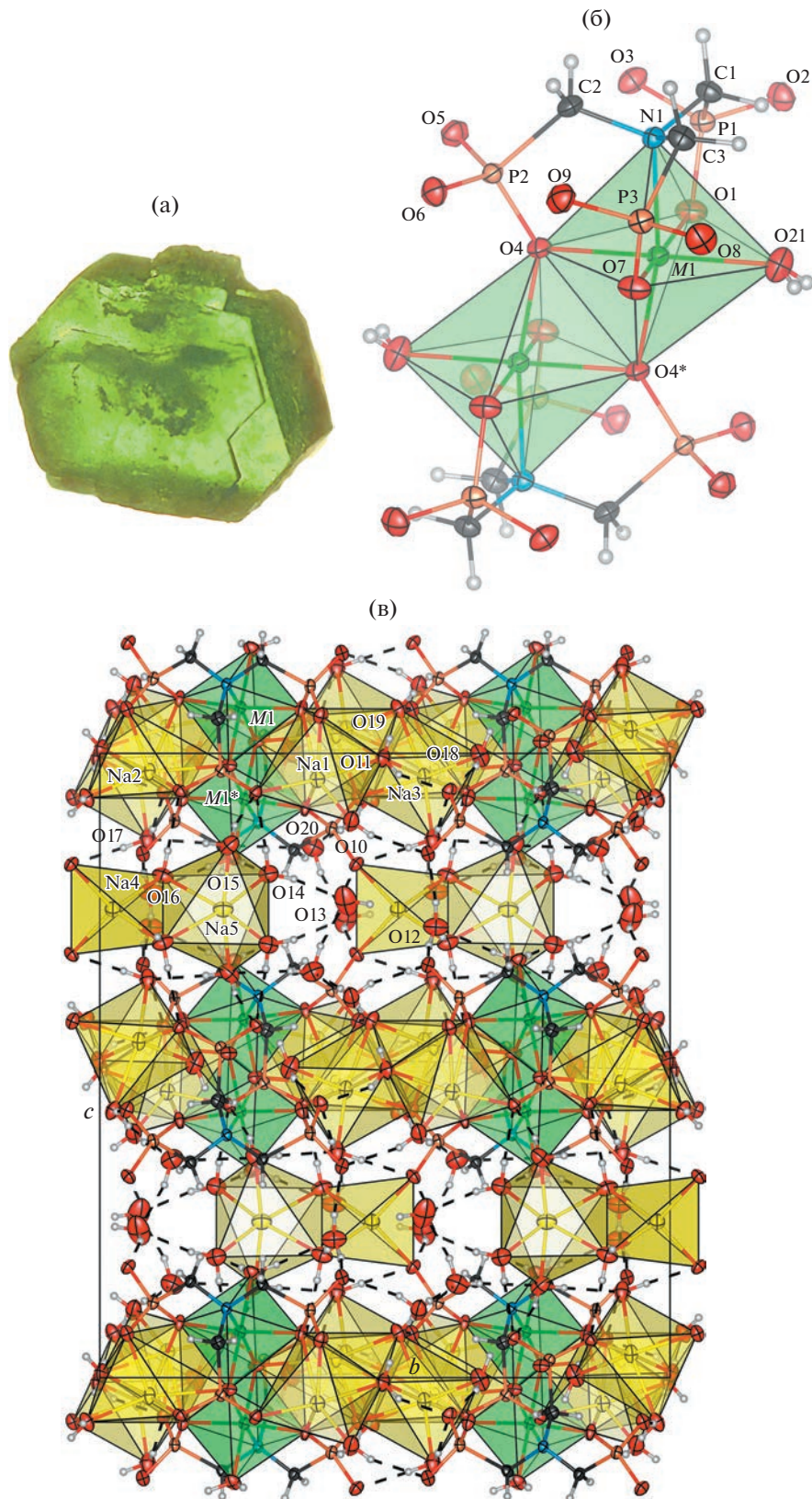
кулами кристаллизационной воды. Молекулы воды O10, O11 и O14–O19 координированы ионами  $\text{Na}^+$ , а молекулы O12, O13 и O20 являются сольватными.

Для иона  $\text{Ni}^{2+}$  с электронной оболочкой  $3d^8$  характерен эффект экстрастабилизации кристаллическим полем, причем энергия экстрастабилизации значительна как в конфигурации октаэдра, так и в конфигурации тетрагональной пирамиды или тригональной бипирамиды:  $1.2\Delta, -1.086\Delta$  и  $-0.627\Delta$  соответственно, где  $\Delta$  – энергия расщепления  $3d$ -орбиталей кристаллическим полем [36, 37]. Ион  $\text{Zn}^{2+}$  с заполненной электронной оболочкой  $3d^{10}$  не подвергается экстрастабилизации кристаллическим полем. Поэтому замещение ионов  $\text{Ni}^{2+}$  ионами  $\text{Zn}^{2+}$  в целом энергетически невыгодно и происходит лишь в малой степени вследствие влияния энтропийного фактора, а обратный процесс – замещение ионов  $\text{Zn}^{2+}$  ионами  $\text{Ni}^{2+}$  – энергетически выгоден и ограничен лишь стереохимическими свойствами координацион-

ного окружения. При частичном замещении ионов  $\text{Zn}^{2+}$  ионами  $\text{Ni}^{2+}$  величина  $\Delta$  возрастает из-за большего орбитального радиуса  $3d$ -орбиталей иона  $\text{Ni}^{2+}$  по сравнению с ионом  $\text{Zn}^{2+}$  [38].

Так как замещение ионов  $\text{Ni}^{2+}$  ионами  $\text{Zn}^{2+}$  мало (не более 5%), структурные параметры моноклинной фазы, в которой преобладает никель, при изменении доли цинка в растворе  $y = n_{\text{Zn}}/(n_{\text{Ni}} + n_{\text{Zn}})$  практически не изменяются (табл. 4).

Напротив, при замещении ионов цинка ионами никеля в триклинической фазе (табл. 3) заметно искажается координационный полиэдр атома металла (рис. 5): в основании тригональной бипирамиды больший из валентных углов увеличивается, а два других уменьшаются, что приводит к тетрагонально-пирамидальному искажению полиэдра. Это обусловлено тем, что в координации правильной тригональной бипирамиды для иона  $\text{Ni}^{2+}$  состояния  $3d_{xz}^{\uparrow\downarrow} d_{yz}^{\uparrow\downarrow} d_{xy}^{\uparrow\downarrow} d_{x^2-y^2}^{\uparrow\downarrow} d_{z^2}^{\uparrow}$  и  $3d_{xz}^{\uparrow\downarrow} d_{yz}^{\uparrow\downarrow} d_{xy}^{\uparrow\downarrow} d_{x^2-y^2}^{\uparrow\downarrow} d_z^{\uparrow}$  оказываются вырожденными,



**Рис. 4.** Внешний вид кристалла (оптический микроскоп, светлое поле, увеличение  $\times 40$ ) (а), структура внутренней координационной сферы (б) и кристаллическая упаковка (в) комплекса  $\text{Na}_4[(\text{Ni}, \text{Zn})(\text{H}_2\text{O})\{\text{N}(\text{CH}_2\text{PO}_3)_3\}] \cdot 11\text{H}_2\text{O}$  в моноклинной фазе. Симметрично-эквивалентная позиция: (\*)  $-x, -y, -z$ .

**Таблица 4.** Основные межатомные расстояния  $d$  и валентные углы  $\omega$  для моноклинных фаз  $\text{Na}_4[(\text{Ni}, \text{Zn})(\text{H}_2\text{O})\{\text{N}(\text{CH}_2\text{PO}_3)_3\}] \cdot 11\text{H}_2\text{O}$  с различным содержанием Zn

Номер опыта	1	3	Литература [14]
Доля Zn $x$	0.02	0.03	0.00
Связь	$d, \text{\AA}$		
$M-\text{N}1$	2.1051(17)	2.1111(16)	2.1077(11)
$M-\text{O}1$	2.0859(15)	2.0845(14)	2.0854(10)
$M-\text{O}4$	2.0644(15)	2.0680(13)	2.0645(10)
$M-\text{O}4^*$	2.0528(14)	2.0506(13)	2.0525(9)
$M-\text{O}7$	2.0926(15)	2.0930(14)	2.0909(10)
$M-\text{O}21^W$	2.0953(17)	2.0955(15)	2.0958(12)
$\text{N}-\text{C}$	1.485(3)–1.507(3)	1.489(2)–1.510(2)	1.4850(17)–1.5034(16)
$\text{C}-\text{P}$	1.826(2)–1.849(2)	1.8274(19)–1.8555(19)	1.8254(13)–1.8521(13)
$\text{P}-\text{O}(M)$	1.5282(16)–1.5459(15)1	1.5334(14)–1.5496(14)	1.5303(11)–1.5462(10)
$\text{P}-\text{O}$	1.5120(16)–1.5248(16)1	1.5199(14)–1.5326(14)	1.5140(11)–1.5282(11)
$\text{Na}1-\text{O}$	2.3437(18)–2.592(3)	2.3387(16)–2.5834(18)	2.3401(12)–2.5972(13)
$\text{Na}2-\text{O}$	2.3475(18)–2.710(3)	2.3417(16)–2.7041(18)	2.3473(12)–2.7011(13)
$\text{Na}3-\text{O}$	2.3417(18)–2.821(3)	2.3303(15)–2.7862(18)	2.3424(13)–2.8222(16)
$\text{Na}4-\text{O}$	2.3239(17)–2.371(3)	2.3147(15)–2.359(2)	2.3202(12)–2.3739(16)
$\text{Na}5-\text{O}$	2.365(3)–2.614(3)	2.3483(16)–2.581(3)	2.3616(17)–2.6078(19)
Углы	$\omega, \text{град}$		
$\text{N}1-M-\text{O}4^*$	167.89(8)	167.39(7)	167.97(5)
$\text{O}1-M-\text{O}7$	171.86(6)	172.24(6)	172.07(4)
$\text{O}4-M-\text{O}21^W$	179.02(7)	178.80(7)	178.78(5)
$\text{O}4-M-\text{O}4^*$	80.04(7)	79.77(7)	80.09(5)

\* Симметрично-эквивалентная позиция:  $-x, -y, -z$ .

<sup>W</sup> Молекула воды.

что в соответствии с теоремой Яна–Теллера приводит к понижению симметрии и снятию вырождения [36, 37].

Анализ карт распределения разностной электронной плотности (рис. 6) показывает, что в комплексе  $\text{Na}_4[\text{Zn}\{\text{N}(\text{CH}_2\text{PO}_3)_3\}] \cdot 13\text{H}_2\text{O}$  (рис. 6а, бг) имеет место приблизительно сферически-симметричное распределение электронной плотности в окрестности иона  $\text{Zn}^{2+}$ , что согласуется со сферической симметрией заполненной электронной оболочки  $3d^{10}$ . При частичном замещении ионов  $\text{Zn}^{2+}$  ионами  $\text{Ni}^{2+}$  и сохранении координации тригональной бипирамиды в комплексе  $\text{Na}_4[\text{Zn}_{0.83}\text{Ni}_{0.17}\{\text{N}(\text{CH}_2\text{PO}_3)_3\}] \cdot 13\text{H}_2\text{O}$  (рис. 6б, бд) в окрестности иона металла появляются локальные максимумы электронной плотности “ $a$ ”. Эти локальные максимумы могут быть объ-

яснены влиянием лепестков частично заселенных орбиталей  $3d_{xy}$  и  $3d_{x^2-y^2}$  иона  $\text{Ni}^{2+}$ . Кулоновское взаимодействие локальных максимумов с электронной плотностью ионов кислорода в теории кристаллического поля учитывается как вклад в энергию экстрапостабилизации и приводит к тетрагональному искажению координационного полиэдра атома металла. Распределение электронной плотности в комплексе  $\text{Na}_4[\text{Ni}(\text{H}_2\text{O})\{\text{N}(\text{CH}_2\text{PO}_3)_3\}] \cdot 11\text{H}_2\text{O}$  (рис. 6в, бе) имеет ярко выраженную угловую зависимость с локальными максимумами, характерными для незаполненной электронной оболочки  $3d^6$  иона  $\text{Ni}^{2+}$ .

Электронные спектры поглощения монокристаллов комплексов  $\text{Na}_4[\text{Ni}(\text{H}_2\text{O})\{\text{N}(\text{CH}_2\text{PO}_3)_3\}] \cdot 11\text{H}_2\text{O}$  и  $\text{Na}_4[\text{Zn}_{0.83}\text{Ni}_{0.17}\{\text{N}(\text{CH}_2\text{PO}_3)_3\}] \cdot 13\text{H}_2\text{O}$  (рис. 7) показывают, что в обоих комплексах ион

$\text{Ni}^{2+}$  находится в высокоспиновом состоянии с электронной конфигурацией  $3d^{2\downarrow 4\uparrow}$ . В спектре моноклинного комплекса наблюдаются полосы поглощения, характерные для  $d-d$ -переходов иона  $\text{Ni}^{2+}$  в октаэдрическом поле: 10652 ( ${}^3A_2 \rightarrow {}^3T_2$ ), 13177 ( ${}^3A_2 \rightarrow {}^1E$ ), 15302 ( ${}^3A_2 \rightarrow {}^3T_1$ ), 22182 ( ${}^3A_2 \rightarrow {}^3T_1(P)$ ) [39]. Оценка энергии расщепления  $3d$ -орбиталей кристаллическим полем дает величину  $\Delta \approx 6500 \text{ см}^{-1}$ . В спектре триклинового комплекса присутствуют полосы  $d-d$ -переходов с частотами, которые близки к характерным частотам переходов для иона  $\text{Ni}^{2+}$  в поле кристалла с тригонально-бипирамидальной симметрией: 10670 ( ${}^3E \rightarrow {}^3A_1$ ), 12571 ( ${}^3E \rightarrow {}^3A_2$ ,  ${}^3A'_1$ ,  ${}^3A'_2$ ), 19287 ( ${}^3E \rightarrow {}^3E(P)$ ), 22376  $\text{см}^{-1}$  ( ${}^3E \rightarrow {}^3A_2(P)$ ) [40]. Оценка энергии расщепления  $3d$ -орбиталей кристаллическим полем приводит к величине  $\Delta \approx 11000 \text{ см}^{-1}$ . Повышение  $\Delta$  в координационном полиэдре триклинового комплекса по сравнению с моноклинным обусловлено, по-видимому, уменьшением среднего расстояния никель–лиганд (табл. 3, 4).

Значения магнитной восприимчивости полученных кристаллических продуктов, измеренные при температуре 298(2) К, приведены в табл. 5. Можно сделать вывод, что магнитное поведение образцов обусловлено замещением части парамагнитных ионов  $\text{Ni}^{2+}$  диамагнитными ионами  $\text{Zn}^{2+}$ .

Рентгеновский фотоэлектронный спектр комплекса  $\text{Na}_4[\text{Ni}(\text{H}_2\text{O})\{\text{N}(\text{CH}_2\text{PO}_3)_3\}] \cdot 11\text{H}_2\text{O}$  (рис. 8, кривая 1) содержит спин-орбитальный дублет с составляющими  $\text{Ni}2p_{3/2}$  с максимумом при  $E_{\text{B}} = 855.9 \text{ эВ}$  и шириной на половине высоты (ШПВ) 3.2 эВ и  $\text{Ni}2p_{1/2}$  с  $E_{\text{B}} = 873.5 \text{ эВ}$  и ШПВ = 4.1 эВ (расщепление  $\Delta_{\text{S-O}} = 17.6 \text{ эВ}$ ). Каждая из составляющих спектра представляет собой неразрешенный мультиплет, расщепление которого обусловлено взаимодействием спина фотоионизационной  $2p$ -дырки с суммарным спином неспаренных  $3d$ -электронов атома металла [41, 42]. Наблюдается развитая сателлитная структура, возникающая в результате встриски (*shake-up*) электронной системы атома, интенсивность которой достигает половины интенсивности основных спектральных линий. По характеру сателлитной структуры  $\text{Ni}2p$ -спектр комплекса  $\text{Na}_4[\text{Ni}(\text{H}_2\text{O})\{\text{N}(\text{CH}_2\text{PO}_3)_3\}] \cdot 11\text{H}_2\text{O}$  близок к спектру гидроксида никеля(II) [43, 44], в структуре которого атом  $\text{Ni}$  координирован атомами кислорода в искаженной октаэдрической конфигурации. В спектре  $\text{Ni}2p$ -электронов комплекса  $\text{Na}_4[\text{Zn}_{0.83}\text{Ni}_{0.17}\{\text{N}(\text{CH}_2\text{PO}_3)_3\}] \cdot 13\text{H}_2\text{O}$  (рис. 8, кривая 2) составляющие спин-орбитального дублета имеют максимумы при  $E_{\text{B}} = 855.6$  и 873.9 эВ (расщепление  $\Delta_{\text{S-O}} = 18.3 \text{ эВ}$ ) и ШПВ = 3.5 и 4.5 эВ соответственно. Это свидетельствует о некотором увеличении расщепления мультиплетов, возможно, из-за увеличения инте-

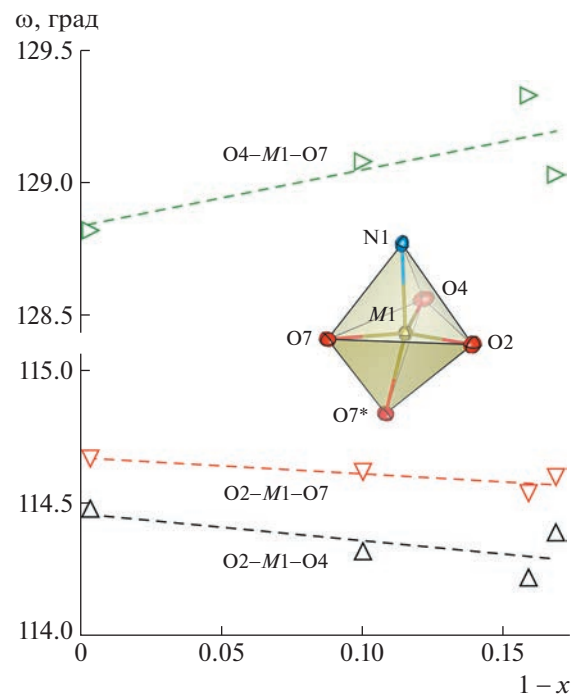
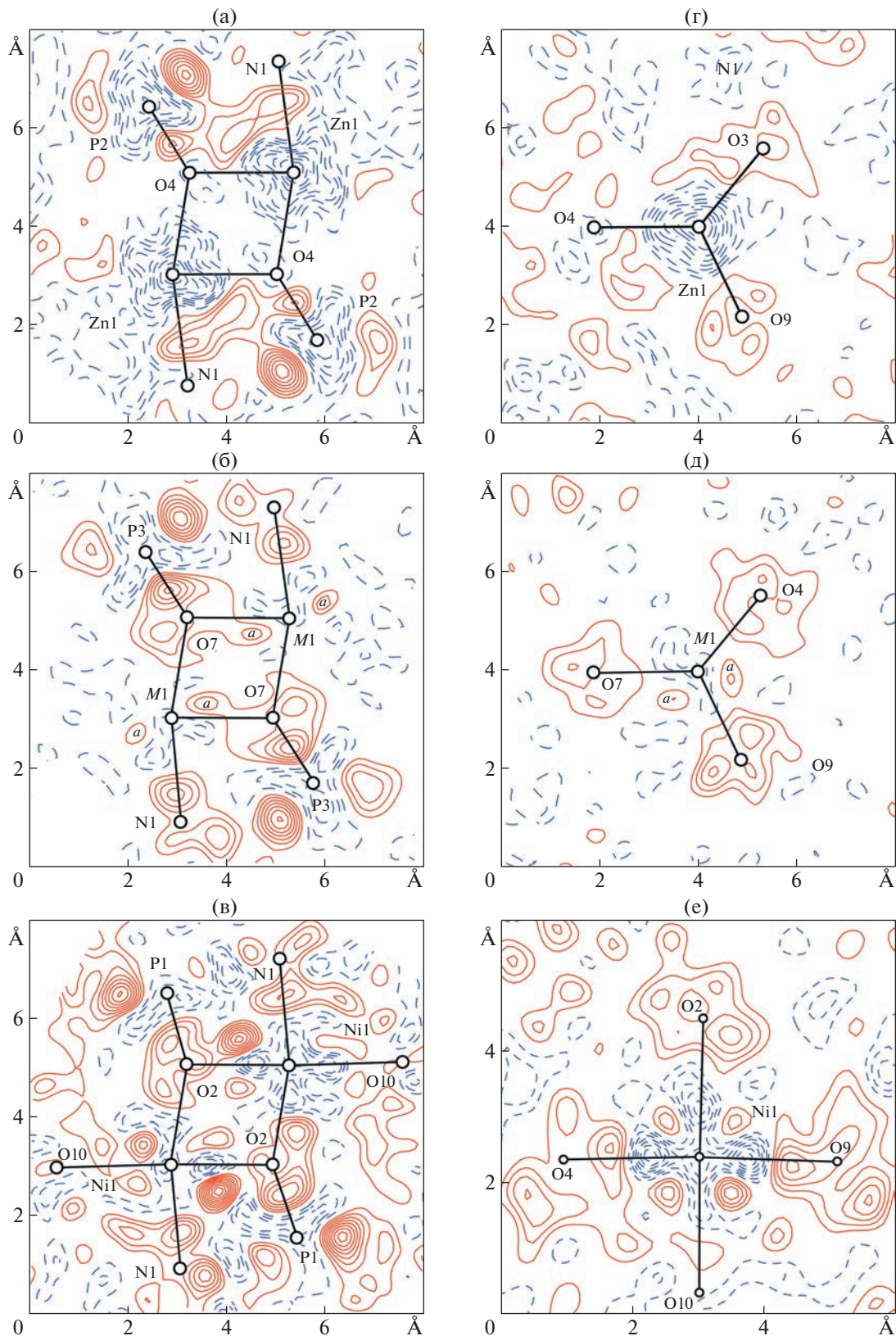


Рис. 5. Зависимость валентных углов  $\omega$  в координационном полиэдре атома металла от доли цинка  $x$  в триклинической фазе.

грала перекрывания  $2p-3d$ -состояний. Интенсивность сателлитной структуры *shake-up* ниже, чем в спектре комплекса  $\text{Na}_4[\text{Ni}(\text{H}_2\text{O})\{\text{N}(\text{CH}_2\text{PO}_3)_3\}] \cdot 11\text{H}_2\text{O}$ ; кроме того, наблюдается разрешение сателлитной структуры – возникает рядиков. Описаны аналогичные снижение интенсивности и разрешение сателлитной структуры *shake-up*  $\text{Ni}2p$ -спектра в спектрах хлорида, бромида и иодида никеля, причем интенсивность снижается по мере повышения степени ковалентности связи

Таблица 5. Значения магнитной восприимчивости полученных кристаллических продуктов  $\chi$  и средний магнитный момент на атом металла-комплексообразователя  $\mu$

Доля Zn в растворе $y = n_{\text{Zn}}/(n_{\text{Ni}} + n_{\text{Zn}})$	$\chi, 10^{-9} \text{ м}^3/\text{кг}$	$\mu, \mu\text{B}$
0	$70.3 \pm 0.8$	$2.97 \pm 0.03$
1/8	$6.8 \pm 0.8$	$2.76 \pm 0.03$
1/4	$15.1 \pm 0.8$	$1.38 \pm 0.03$
3/8	$24.4 \pm 0.8$	$1.75 \pm 0.03$
1/2	$9.3 \pm 0.8$	$1.08 \pm 0.03$
5/8	$12.9 \pm 0.8$	$1.28 \pm 0.03$
3/4	$-4.2 \pm 0.8$	
7/8	$-5.5 \pm 0.8$	
1	$-8.8 \pm 0.8$	



**Рис. 6.** Карты распределения разностной электронной плотности  $\Delta\rho = \rho_{\text{эксп}} - \rho_{\text{расч}}$  по данным PCA в кристаллах комплексов  $\text{Na}_4[\text{Zn}\{\text{N}(\text{CH}_2\text{PO}_3)_3\}] \cdot 13\text{H}_2\text{O}$  (а, г);  $\text{Na}_4[\text{Zn}_{0.83}\text{Ni}_{0.17}\{\text{N}(\text{CH}_2\text{PO}_3)_3\}] \cdot 13\text{H}_2\text{O}$  (б, д) и  $\text{Na}_4[\text{Ni}(\text{H}_2\text{O})\{\text{N}(\text{CH}_2\text{PO}_3)_3\}] \cdot 11\text{H}_2\text{O}$  (в, е). Сечение в плоскости квадрупольного цикла М—О—М—О (а, б, в) и сечение координационного полиэдра в перпендикулярной плоскости, содержащей атом металла (г, д, е). Шаг изолиний 0.05 э/Å<sup>3</sup>; изолинии избыточной электронной плотности — сплошные, недостаточной — штриховые.

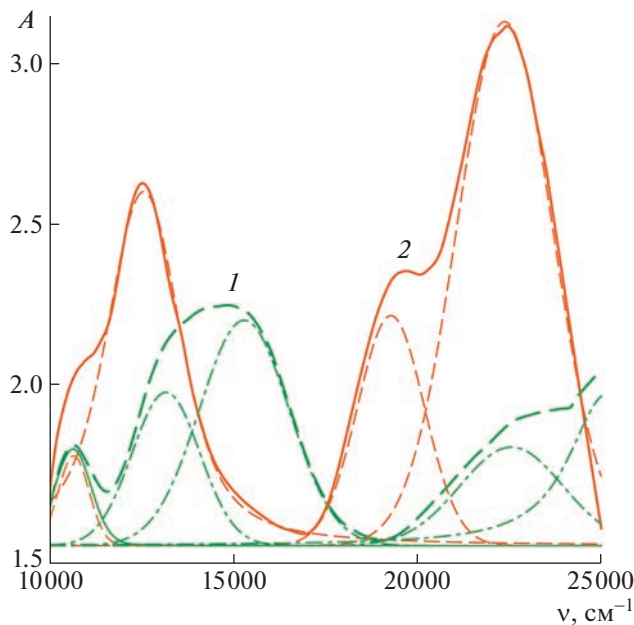


Рис. 7. Электронные спектры поглощения моноокристаллов комплексов  $\text{Na}_4[\text{Ni}(\text{H}_2\text{O})\{\text{N}(\text{CH}_2\text{PO}_3)_3\}] \cdot 11\text{H}_2\text{O}$  (1) и  $\text{Na}_4[\text{Zn}_{0.83}\text{Ni}_{0.17}\{\text{N}(\text{CH}_2\text{PO}_3)_3\}] \cdot 13\text{H}_2\text{O}$  (2).

никель–лиганд [44]. Можно сделать вывод, что в комплексе с координацией тригональной бипирамиды степень ковалентности связи никель–лиганд выше, чем в комплексе с октаэдрической координацией.

ИК-спектры кристаллических продуктов, полученных при  $y = 0, 1/4, 1/2, 3/4$  и 1, показаны на рис. 9. В спектре образцов, представленных моноклинной фазой ( $y = 0$  и  $1/4$ ), ярко прослеживаются различия в конформациях боковых и средней  $\text{CH}_2\text{PO}_3$ -ветвей молекулы NTP. Это проявляется в расщеплении полос поглощения при 475–515, 586–606 (ν Zn–O), 968–990 (δ N–C–P), 1053–1080, 1110–1126 (ν P–O) см<sup>-1</sup>, сложном составе колебаний δ  $\text{CH}_2$ -группы в области 1410–1443 см<sup>-1</sup>. Также в спектрах моноклинных образцов присутствуют полосы поглощения при 736 (δ O–P–O), 818, 858, 876 (δ C–P–O), 1261 (ν P=O), 1312 (δ Na–OH<sub>2</sub>) см<sup>-1</sup>. В спектре образцов триклинной фазы ( $y = 3/4$  и 1) линии колебаний при 490, 590 (ν Zn–O), 1050, 1128 (ν P–O), 1430 (δ CH<sub>2</sub>) не расщеплены, что указывает на близкие силовые константы этих связей в тригонально-псевдосимметричных  $\text{CH}_2\text{PO}_3$ -ветвях молекулы лиганда. Однако расщепление полос, соответствующих колебаниям δ O–P–O при 762 и 777 см<sup>-1</sup>, δ C–P–O при 841, 854 и 876 см<sup>-1</sup>, и сложный характер спектра в области 930–990 см<sup>-1</sup> (δ N–C–P) свидетельствуют о неполной симметрии  $\text{CH}_2\text{PO}_3$ -ветвей молекулы NTP, что хорошо согласуется с данными РСА. Полоса, соответствующая колеба-

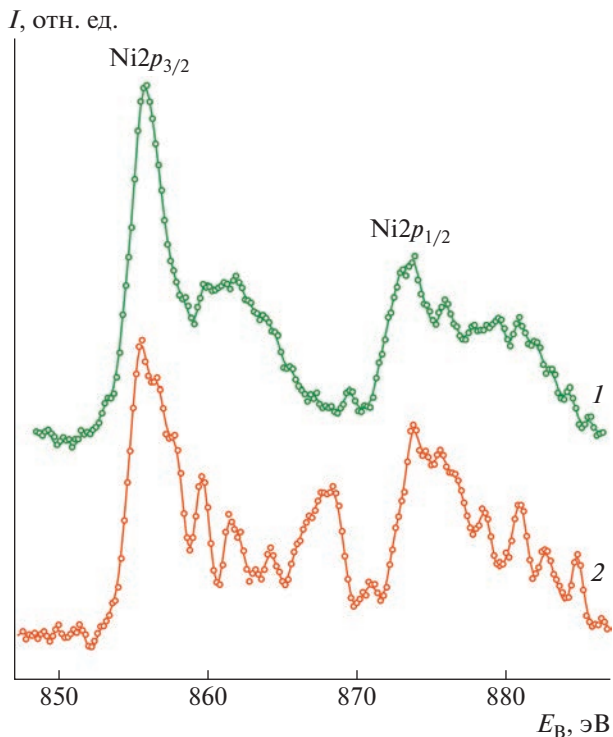


Рис. 8. Рентгеновские фотоэлектронные спектры  $\text{Ni}2p$  кристаллов  $\text{Na}_4[\text{Ni}(\text{H}_2\text{O})\{\text{N}(\text{CH}_2\text{PO}_3)_3\}] \cdot 11\text{H}_2\text{O}$  (1) и  $\text{Na}_4[\text{Zn}_{0.83}\text{Ni}_{0.17}\{\text{N}(\text{CH}_2\text{PO}_3)_3\}] \cdot 13\text{H}_2\text{O}$  (2).

ниям двойной связи P=O, в триклинном комплексе смещена в низкочастотную область и расщеплена на компоненты 1225 и 1233 см<sup>-1</sup>. Это свидетельствует о значительном выравнивании распределения электронной плотности в  $\text{PO}_3$ -группе и повышении степени ковалентности координационной связи  $M$ –O по сравнению с этой связью в продукте с моноклинной структурой. Поскольку значения электроотрицательности никеля и цинка близки друг к другу [45], изменение степени ковалентности координационной связи происходит только вследствие изменения симметрии координационного полиэдра. Спектр продукта, являющегося смесью моноклинной и триклинной фаз ( $y = 1/2$ ), представляет собой наложение спектров моноклинной и триклинной фаз.

На термограммах всех исследованных комплексов (рис. 10) наблюдается потеря кристаллизационной воды с интенсивным эндотермическим эффектом. Для кристаллических продуктов моноклинной фазы, полученных при  $y = 0$  и  $1/4$ , эндотермический эффект начинается при 58°C, а максимум выражен при 83°C; потеря массы соответствует 10H<sub>2</sub>O. Для кристаллических продуктов триклинной фазы, полученных при  $y = 3/4$  и 1, начало эндотермического эффекта наблюдается при 43°C, а максимум – при 70°C; потеря массы

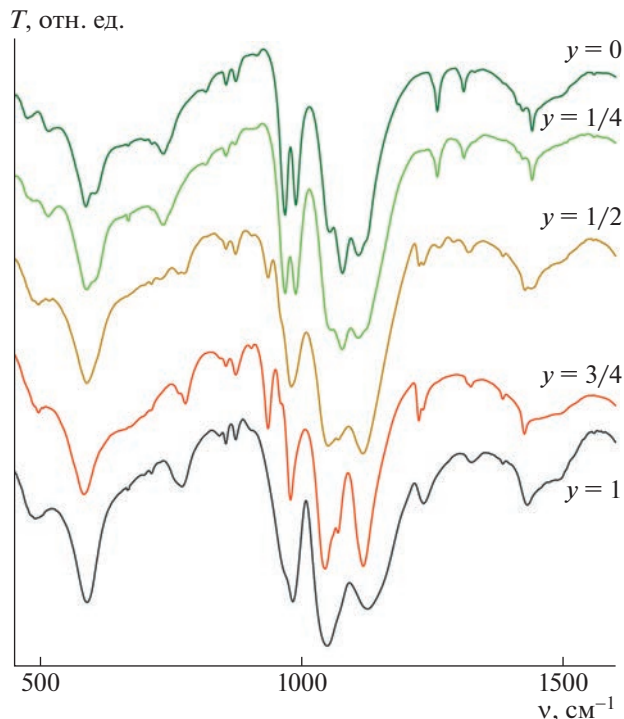


Рис. 9. ИК-спектры пропускания кристаллических продуктов, полученных при различной доле цинка в растворе  $y = n_{\text{Zn}}/(n_{\text{Ni}} + n_{\text{Zn}})$ .

соответствует  $11\text{H}_2\text{O}$ . При разложении кристаллического продукта, полученного при  $y = 1/2$  и являющегося смесью двух фаз, эндотермический эффект, соответствующий потере кристаллизационной воды, значительно расширен и имеет начало при  $43^\circ\text{C}$ , а максимум — при  $80^\circ\text{C}$ . Термическое разложение внутренней координационной сферы комплексов сопровождается экзотермическим эффектом. Разложение комплексов с моноклинной структурой, полученных при  $y = 0$  и  $1/4$ , протекает в одну стадию и начинается при  $405^\circ\text{C}$ . Для комплексов с триклинической структурой ( $y = 3/4$  и  $1$ ) температура начала разложения достигает  $416^\circ\text{C}$ , а максимум теплового эффекта наблюдается при  $432^\circ\text{C}$ . Потеря массы протекает в две стадии. При разложении двухфазного кристаллического продукта, полученного при  $y = 1/2$ , тепловой эффект и потеря массы представляют собой комбинацию описанных выше процессов.

## ВЫВОДЫ

Набором взаимодополняющих методов исследованы состав, структура и закономерности образования кристаллических фаз из водно-органических сред растворов гетерометаллических комплексов NTP, образующих изодиморфный ряд

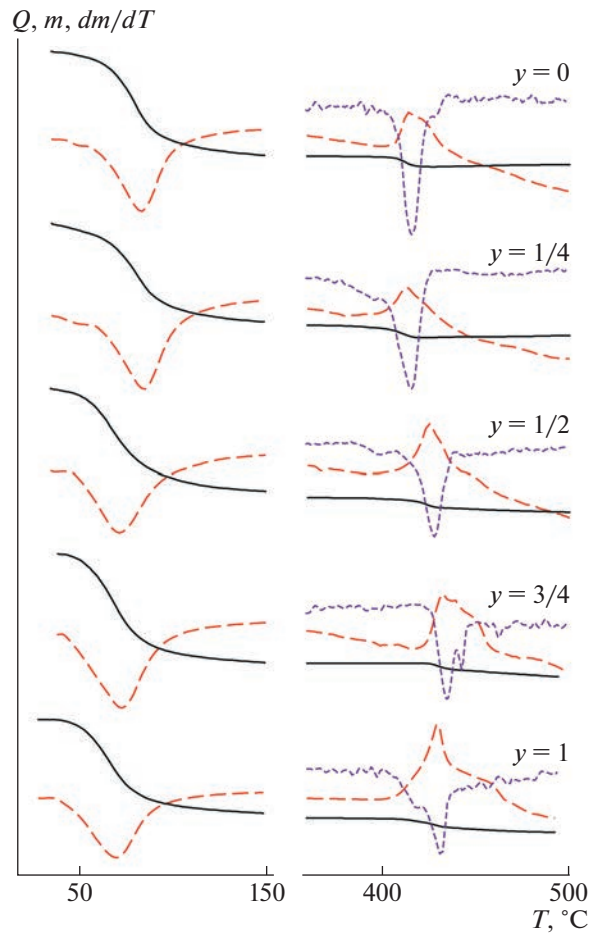


Рис. 10. Термограммы кристаллических продуктов, полученных при различной доле цинка в растворе  $y = n_{\text{Zn}}/(n_{\text{Ni}} + n_{\text{Zn}})$ : температурные зависимости массы образца  $m$  (сплошные линии), теплового эффекта  $Q$  (штриховые линии) и производной  $dm/dT$  (пунктирные линии).

замещения  $\text{Na}_4[\text{Zn}_x\text{Ni}_{(1-x)}\{\text{N}(\text{CH}_2\text{PO}_3)_3\}] \cdot n\text{H}_2\text{O}$  ( $x = 0-1$ ).

В моноклинной фазе с преобладанием никеля замещение атомов “хозяина” атомами “гостя” практически не происходит.

В триклинической фазе, обогащенной цинком, атомы цинка сравнительно легко замещаются атомами никеля. Эффект Яна—Теллера и влияние экстраполяции кристаллическим полем приводят к исказению конформации координационного полизэдра — от тригональной бипирамиды до тетрагональной пирамиды.

Кристаллохимические закономерности в ряду замещения  $\text{Na}_4[\text{Zn}_x\text{Ni}_{(1-x)}\{\text{N}(\text{CH}_2\text{PO}_3)_3\}] \cdot n\text{H}_2\text{O}$ , включая изменение конформации молекулы лиганда с понижением ее псевдосимметрии от тригональной до моноклинной, полностью описываются теорией кристаллического поля, которая основывается на оценке стереохимических пред-

почтений иона металла, обусловленных симметрией его внешних орбиталей. Таким образом, в данной системе стереохимические предпочтения иона металла превалируют над стереохимическими свойствами лиганда.

Уменьшение расстояния  $M-O$  в триклиновой фазе по сравнению с моноклинной фазой приводит к увеличению расщепления энергетических уровней иона  $Ni^{2+}$  и повышению степени ковалентности связей металл–лиганд, что подтверждается анализом оптических спектров в видимом и ИК-диапазонах и рентгеновских фотоэлектронных спектров.

Рентгеноструктурные исследования проведены в рамках государственного задания Министерства науки и высшего образования РФ (проект № FSWR-2023-0035). Спектроскопические и термогравиметрические исследования выполнены в рамках государственного задания Министерства науки и высшего образования России (проекты № 121030100002-0 и 121030100003-7) с использованием оборудования ЦКП “Центр физических и физико-химических методов анализа, исследования свойств и характеристик поверхности, наноструктур, материалов и изделий” УдМФИЦ УрО РАН.

## СПИСОК ЛИТЕРАТУРЫ

1. *Kuznetsov Yu.I., Mercer A.D., Thomas J.G.N. Organic Inhibitors of Corrosion of Metals.* New York: Springer, 1996. 284 p.  
<https://doi.org/10.1007/978-1-4899-1956-4>
2. Кузнецов Ю.И. // Успехи химии. 2004. Т. 73. № 1. С. 79.  
<https://doi.org/10.1070/RC2004v073n01ABEH000864>
3. Demadis K.D., Katarachia S.D., Koutmos M. // Inorg. Chem. Commun. 2005. V. 8. P. 254.  
<https://doi.org/10.1016/j.inoche.2004.12.019>
4. Сомов Н.В., Чайсов Ф.Ф. // Кристаллография. 2014. Т. 59. № 1. С. 71.  
<https://doi.org/10.7868/S0023476113050123>
5. Chausov F.F., Kazantseva I.S., Reshetnikov S.M. et al. // ChemistrySelect. 2020. V. 5. P. 13711.  
<https://doi.org/10.1002/slct.202003255>
6. Сомов Н.В., Чайсов Ф.Ф. // Кристаллография. 2015. Т. 60. № 2. С. 233.  
<https://doi.org/10.7868/S0023476115010221>
7. Сомов Н.В., Чайсов Ф.Ф. // Кристаллография. 2016. Т. 61. № 1. С. 46.  
<https://doi.org/10.7868/S0023476116010239>
8. Goeckeler W.F., Edwards B., Volkert W.A. et al. // J. Nucl. Med. 1987. V. 28. № 4. P. 495.
9. Cabeza A., Ouyang X., Sharma C.V.K. et al. // Inorg. Chem. 2002. V. 41. P. 2325.  
<https://doi.org/10.1021/ic0110373>
10. Cunha-Silva L., Mafra L., Ananias D. et al. // Chem. Mater. 2007. V. 19. P. 3527.  
<https://doi.org/10.1021/cm070596q>
11. Bazaga-García M., Angeli G.K., Papathanasiou K.E. et al. // Inorg. Chem. 2016. V. 55. P. 7414.  
<https://doi.org/10.1021/acs.inorgchem.6b00570>
12. Сомов Н.В., Чайсов Ф.Ф., Закирова Р.М., Федотова И.В. // Координац. химия. 2015. Т. 41. № 12. С. 729.  
<https://doi.org/10.7868/S0132344X15110080>
13. Сомов Н.В., Чайсов Ф.Ф., Закирова Р.М. и др. // Координац. химия. 2015. Т. 41. С. 634.  
<https://doi.org/10.7868/S0132344X15100072>
14. Сомов Н.В., Чайсов Ф.Ф., Закирова Р.М., Федотова И.В. // Кристаллография. 2016. Т. 61. № 2. С. 238.  
<https://doi.org/10.7868/S0023476116020260>
15. Сомов Н.В., Чайсов Ф.Ф., Закирова Р.М. и др. // Кристаллография. 2017. Т. 62. № 6. С. 896.  
<https://doi.org/10.7868/S0023476117050228>
16. Сомов Н.В., Чайсов Ф.Ф., Ломова Н.В. и др. // Координац. химия. 2017. Т. 43. № 9. С. 545.  
<https://doi.org/10.7868/S0132344X17090109>
17. Сомов Н.В., Чайсов Ф.Ф., Закирова Р.М. и др. // Координац. химия. 2017. Т. 43. № 12. С. 765.  
<https://doi.org/10.7868/S0132344X1712009X>
18. Сомов Н.В., Чайсов Ф.Ф., Закирова Р.М. и др. // Координац. химия. 2017. Т. 43. № 6. С. 369.  
<https://doi.org/10.7868/S0132344X1706010X>
19. Сомов Н.В., Чайсов Ф.Ф., Закирова Р.М. и др. // Кристаллография. 2018. Т. 63. № 6. С. 894.  
<https://doi.org/10.1134/S0023476118050284>
20. Сомов Н.В., Чайсов Ф.Ф., Закирова Р.М. и др. // Кристаллография. 2018. Т. 63. № 3. С. 415.  
<https://doi.org/10.7868/S0023476118030104>
21. Сомов Н.В., Чайсов Ф.Ф., Ломова Н.В. и др. // Кристаллография. 2020. Т. 65. № 2. С. 234.  
<https://doi.org/10.31857/S002347612002023X>
22. Lomova N.V., Chausov F.F., Somov N.V. et al. // Eur. J. Inorg. Chem. 2020. № 13. P. 1211.  
<https://doi.org/10.1002/ejic.201901334>
23. Chausov F.F., Lomova N.V., Somov N.V. et al. // Z. Anorg. Allg. Chem. 2021. V. 647. P. 606.  
<https://doi.org/10.1002/zaac.202000366>
24. Дятлова Н.М., Темкина В.Я., Попов К.И. Комплексоны и комплексоны металлов. М.: Химия, 1988. 544 с.
25. Сомов Н.В., Чайсов Ф.Ф., Ломова Н.В. и др. // Кристаллография. 2020. Т. 65. № 5. С. 756.  
<https://doi.org/10.31857/S0023476120050215>
26. Somov N.V., Chausov F.F., Kazantseva I.S. et al. // Polyhedron. 2021. V. 195. P. 114964.  
<https://doi.org/10.1016/j.poly.2020.114964>
27. Chausov F.F., Lomova N.V., Somov N.V. et al. // J. Cryst. Growth. 2019. V. 524. P. 125187.  
<https://doi.org/10.1016/j.jcrysgr.2019.125187>
28. Чайсов Ф.Ф. “Структурная химия координационных соединений  $s$ -,  $p$ -,  $d$ - и  $f$ -металлов с нитрилоторис-метиленфосфоновой кислотой и функциональные материалы на их основе”. Дис. ... д-ра хим. наук. Ижевск: УдМФИЦ УрО РАН, 2021.
29. Clark R.C., Reid J.S. // Acta Cryst. A. 1995. V. 51. P. 887.  
<https://doi.org/10.1107/S0108767395007367>

30. *Sheldrick G.M.* // Acta Cryst. A. 2015. V. 71. P. 3.  
<https://doi.org/10.1107/S2053273314026370>
31. *Farrugia L.J.* // J. Appl. Cryst. 1999. V. 32. P. 837.  
<https://doi.org/10.1107/S0021889899006020>
32. *Momma K., Izumi F.* // J. Appl. Cryst. 2011. V. 44. P. 1272.  
<https://doi.org/10.1107/S0021889811038970>
33. *Wojdyr M.* // J. Appl. Cryst. 2010. V. 43. P. 1126.  
<https://doi.org/10.1107/S0021889810030499>
34. *Daly J.J., Wheatley P.J.* // J. Chem. Soc. A. 1967. P. 212.  
<https://doi.org/10.1039/J19670000212>
35. *Addison A.W., Rao T.N., Reedijk J. et al.* // J. Chem. Soc., Dalton Trans. 1984. № 7. P. 1349.  
<https://doi.org/10.1039/dt9840001349>
36. *Берсукер И.Б.* Электронное строение и свойства координационных соединений. Введение в теорию. Л.: Химия, 1976. 352 с.
37. *Балхазен К.* Введение в теорию поля лигандов. М.: Мир, 1964. 360 с.
38. *Waber J.T., Cromer D.T.* // J. Chem. Phys. 1965. V. 42. P. 4116.  
<https://doi.org/10.1063/1.1695904>
39. *Tanabe Yu., Sugano S.* // J. Phys. Soc. Jpn. 1954. V. 9. № 5. P. 766.  
<https://doi.org/10.1143/JPSJ.9.766>
40. *Sacconi L.* // Pure Appl. Chem. 1968. V. 17. № 1. P. 95.  
<https://doi.org/10.1351/pac196817010095>
41. *Gupta R.P., Sen S.K.* // Phys. Rev. B. 1974. V. 10. № 1. P. 71.  
<https://doi.org/10.1103/PhysRevB.10.71>
42. *Gupta R.P., Sen S.K.* // Phys. Rev. B. 1975. V. 12. № 1. P. 15.  
<https://doi.org/10.1103/PhysRevB.12.15>
43. *Biesinger M.C., Payne B.P., Lau L.W.M. et al.* // Surf. Interface Anal. 2009. V. 41. P. 324.  
<https://doi.org/10.1002/sia.3026>
44. *Biesinger M.C., Lau L.W.M., Gerson A.R., Smart R.St.C.* // Phys. Chem. Chem. Phys. 2012. V. 14. P. 2434.  
<https://doi.org/10.1039/c2cp22419d>
45. *Tantardini C., Oganov A.R.* // Nature Commun. 2021. V. 12. P. 2087.  
<https://doi.org/10.1038/s41467-021-22429-0>